



УДК 547.963.32.057 : 542.95

© 1993 Л. Г. Кузнецова, Е. А. Романова,  
Е. М. Волков, В. Н. Ташлицкий, Т. С. Орецкая,  
Н. Ф. Крынецкая, З. А. Шабарова

## ОЛИГОДЕЗОКСИРИБОНУКЛЕОТИДЫ, СОДЕРЖАЩИЕ 2'-АМИНО-2'-ДЕЗОКСИПРИМИДИНОВЫЕ НУКЛЕОЗИДЫ

Московский государственный университет им. М. В. Ломоносова, химический факультет

Разработан способ синтеза модифицированных нуклеотидных компонентов твердофазного амидофосфитного синтеза олигонуклеотидов для введения в олигонуклеотидную цепь 2'-амино-2'-дезоксипримидиновые нуклеозиды. Описан синтез серии модифицированных олигонуклеотидов длиной от 5 до 20 нуклеотидных звеньев. Изучена гидролитическая устойчивость олигомеров в интервале pH 7–11,5. Показана высокая реакционная способность 2'-аминогруппы при ацилировании. Исследована возможность образования дуплексов модифицированных олигонуклеотидов с комплементарными НК-матрицами.

В последнее время появилось много работ по синтезу олигонуклеотидов с алифатическими аминогруппами, которые необходимы для последующего введения репортерных групп, нерадиоактивных меток, иммобилизации олигонуклеотидов, пришивки их к белку и т. д. [1–5]. Аминогруппы через полиметиленовые звенья присоединялись либо к гетероциклическому основанию нуклеозида [1–4], либо к фосфатной группе [5].

Особый интерес представляет введение аминогруппы в 2'-положение углеводного фрагмента. Ранее было показано, что модификация у C2'-атома сахарного остатка в олигонуклеотидах придает им уникальные свойства, например изменяет конформацию сахарного кольца, препятствует нуклеазному гидролизу [6, 7].

Олигонуклеотиды, содержащие 2'-амино-2'-дезоксирибонуклеозиды, были использованы в работе Экштейна [8] при изучении каталитических свойств рибозимов. Однако подробное описание синтеза и свойств нового класса соединений, какими являются олигодезоксирибонуклеотиды с 2'-аминонуклеозидными вставками, в статье отсутствует. Нами ранее опубликован синтез олигонуклеотидов, содержащих 2'-амино-2'-дезоксиуридиновые звенья [9]. Настоящая работа — продолжение исследований по синтезу модифицированных олигонуклеотидов и изучению их химических и физико-химических свойств.

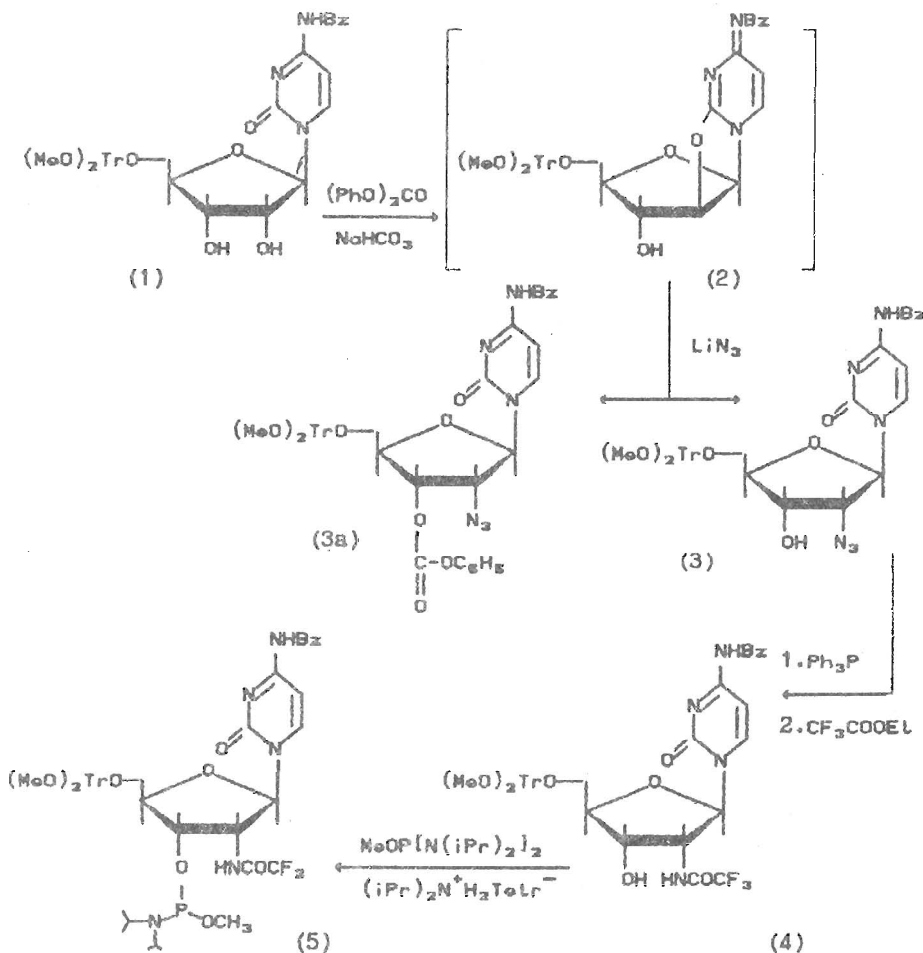
### Синтез олигодезоксирибонуклеотидов, содержащих 2'-амино-2'-дезоксицитидин

Синтез олигодезоксирибонуклеотидов, содержащих 2'-амино-2'-дезоксирибопримидиновые нуклеозиды, предполагает решение ряда задач. Одна из них заключается в выборе оптимального метода получения модифицированного ами-

Используемые сокращения: U<sup>N</sup> — 2'-амино-2'-дезоксиуридин; C<sup>N</sup> — 2'-амино-2'-дезоксицитидин; FITC — флуоресцеинизотиоцианат; TetrN — 1Н-тетразол. Префикс «d» (дезокси) при написании 2'-дезоксирибонуклеотидов опущен.

дофосфитного производного, которое может быть встроено в олигонуклеотидную цепь в процессе синтеза.

5'-O-Диметокситритил-N<sup>4</sup>-бензоил-2'-трифторацетамило-2'-дезокси-3'-(N, N-дизопропиламило)метилфосфит цитидина (5) был получен из цитидина последовательными реакциями селективного тритилирования 5'-гидроксильной группы и бензоилирования экзоциклической аминогруппы с образованием соединения (1), замыкания 2,2'-ангидроцикла [10], размыкания последнего азидом лития в диметилформамиде [11] и восстановления азидогруппы соединения (3) трифенилфосфином (см. схему). Ацилирование алифатической аминогруппы проводили этиловым эфиром трифторуксусной кислоты, а фосфитилирование соединения (4) осуществляли бис(N, N-дизопропиламило)метилфосфитом аналогично получению 3'-амидофосфитов дезоксинуклеозидов [12]. Все вышеуказанные защитные группы удаляются в условиях стандартных постсинтетических обработок олигонуклеотидов.



Следует отметить, что реакция замыкания 2,2'-ангидроцикла цитидина и размыкание его азидом лития проводились в одной колбе. Это обусловлено лабильностью соединения (2), превращающегося в арабиноцитидин при попытках выделения [7]. В результате реакции размыкания ангидроцикла цитидина образуются два основных продукта реакции в равных соотношениях. После хроматографии реакционной смеси на силикагеле обнаружено, что оба соединения

содержат азидогруппу с характерной полосой поглощения в ИК-спектре 2120 см<sup>-1</sup>.

Для идентификации искомого продукта реакции встречным синтезом получен 5'-О-диметокситритил-N<sup>4</sup>-бензоил-2'-азидо-2'-дезоксицитидин из 5'-О-диметокситритил-2'-азидо-2'-дезоксиуридина по методике, используемой обычно для превращения производных уридуна в производные цитидина [13]. Отметим, что такой путь получения соединения (3) значительно длиннее выбранного нами. Результаты анализа методом <sup>1</sup>Н-ЯМР-спектроскопии одного из двух продуктов, синтезированных по предложенной нами методике, и соединения, полученного встречным синтезом, показали их идентичность.

Для выяснения природы второго продукта (3а) проведен ряд исследований. ИК-спектр его в отличие от ИК-спектра основного соединения помимо характерных полос поглощения азидогруппы и 4-бензамидной группы содержит характерную полосу при 1724 см<sup>-1</sup>, соответствующую валентным колебаниям C=O-группы в фенилкарбонатах. УФ-спектры обоих соединений в области 3000—2100 см<sup>-1</sup> аналогичны, что свидетельствует об идентичности строения их гетероциклических оснований. Главное различие в <sup>1</sup>Н-ЯМР-спектрах этих продуктов наблюдается в химических сдвигах 3'-протонов (4,50 и 5,51 м.д.). Значительное смещение сигнала 3'-протона соединения (3а) в слабое поле может быть обусловлено наличием фенилкарбонатного заместителя в 3'-положении сахара. Суммарный интеграл в области обнаружения ароматических протонов для соединения (3а) увеличивается на 5 протонов по сравнению с интегралом для соединения (3). Кроме того, наличие 2'-азидогруппы и 3'-фенилкарбонатного заместителя подтверждается успешным восстановлением азидогруппы соединения (3а) и последующим ацилированием 2'-аминогруппы, с одной стороны, и неспособностью полученного производного взаимодействовать с фосфитилирующим реагентом — с другой. Результаты ИК-, УФ-, <sup>1</sup>Н-ЯМР-спектроскопии свидетельствуют о том, что продукт (3а) является, по-видимому, 5'-О-диметокситритил-2'-азидо-2'-дезокси-3'-фенилкарбонатом цитидина, образование которого возможно благодаря избытку дифенилкарбоната в реакционной смеси.

Таким образом, несмотря на наличие побочного продукта, от которого несложно освободиться с помощью колоночной хроматографии на силикагеле, предложенный метод получения модифицированных нуклеотидных компонентов олигонуклеотидного синтеза на основе 2'-аминопirimидиновых нуклеозидов достаточно прост и эффективен. Амидофосфиты производных 2'-аминоуридуна и 2'-аминоцитидина введены в олигонуклеотидный синтез по стандартному регламенту получения олигодезоксирибонуклеотидов на автоматических синтезаторах «Виктория-4М» и Applied Biosystems 380B с увеличением до 5 мин времени конденсации на стадии включения в цепь модифицированного звена. Синтезированы следующие олигодезоксирибонуклеотиды с 2'-амино-2'-дезоксирибонуклеотидными звенями:

TTU <sup>n</sup> TT	(I)	TTC <sup>n</sup> TT	(IX)
U <sup>n</sup> TTT	(II)	ACCAC <sup>n</sup> CGCGC <sup>n</sup> T	(X)
T <sub>8</sub> (U <sup>n</sup> T <sub>2</sub> ) <sub>4</sub>	(III)	ACCAC <sup>n</sup> CGC <sup>n</sup> GC <sup>n</sup> T	(XI)
ACGGAU <sup>n</sup>	(IV)	ACCAC <sup>n</sup> C <sup>n</sup> GC <sup>n</sup> GC <sup>n</sup> T	(XII)
CACTU <sup>n</sup> CU <sup>n</sup> GrA	(V)		
CACU <sup>n</sup> U <sup>n</sup> CU <sup>n</sup> GrA	(VI)		
CTACU <sup>n</sup> CU <sup>n</sup> CGC	(VII)		
CTACU <sup>n</sup> CU <sup>n</sup> CGrC	(VIII)		

Олигонуклеотиды (I), (II), (IX) — модели, полученные при отработке условий синтеза. Олигонуклеотиды (V)—(VIII), (X)—(XII) комплементарны различным участкам 5S РНК рибосом *E. coli*. Синтез олигонуклеотидов (I), (II), (IV), (V), (VI) описан нами ранее [9].

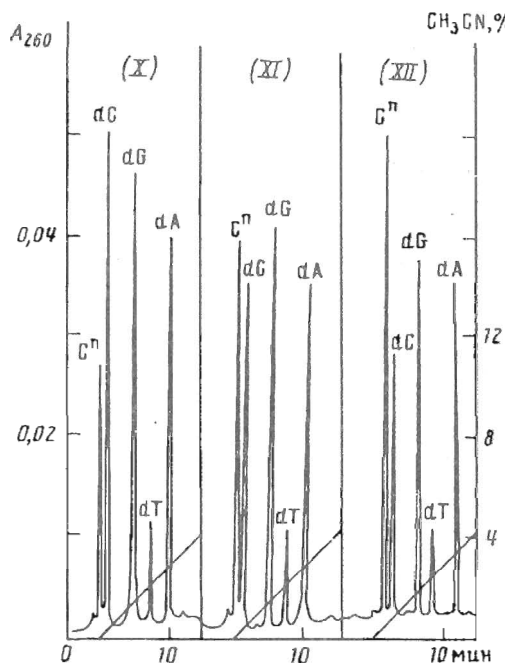


Рис. 1. ВЭЖХ-анализ нуклеозидного состава модифицированных олигонуклеотидов (X)–(XII) после их гидролиза смесью щелочной фосфатазы и фосфодиэстеразы змеиного яда (условия см. «Экспер. часть»)

Удаление защитных групп с гетероциклических оснований в модифицированных олигонуклеотидах проводили по стандартной схеме [7] и продукты выделяли методом обращенно-фазовой ВЭЖХ, используя гидрофобные свойства 5'-О-диметокситритильной группы, с последующим дегидратированием целевых олигонуклеотидов. Выходы модифицированных олигонуклеотидов составляли 10–15%, при стандартных выходах немодифицированных олигодезоксирибонуклеотидов 10–20%.

Нуклеотидную последовательность полученных олигонуклеотидов подтверждали методом химической модификации оснований [14]. Как мы уже отмечали [9], после обработки олигонуклеотида перманганатом калия и пиперидином в месте введения 2'-амино-2'-дезоксиуридин отсутствует радиоактивность во всех четырех колонках геля. Положения 2'-амино-2'-дезоксицитидина «прочитываются» как цитидин при обработке олигонуклеотидов гидроксиламином.

Нуклеозидный состав соединений (I)–(XII) подтверждался их исчерпывающим гидролизом смесью щелочной фосфатазы и фосфомоногидразы змеиного яда в течение 3 ч при 37° С с последующим анализом гидролизата ВЭЖХ. Типичные профили элюции, полученные при анализе гидролизатов олигонуклеотидов (X)–(XII) с различным числом 2'-аминонуклеозидов, приведены на рис. 1.

#### Свойства олигодезоксирибонуклеотидов, содержащих 2'-амино-2'-дезоксирибонуклеотидные звенья

Полученные модифицированные олигодезоксирибонуклеотиды представляют собой малоизученный класс соединений, и исследование их химических и физико-химических свойств вызывает большой интерес, в том числе для определения области возможного применения.

Нами было обнаружено, что олигонуклеотиды, содержащие 2'-амино-2'-дезоксиуридин, устойчивы в условиях щелочного гидролиза РНК (0,1 М NaHCO<sub>3</sub>,

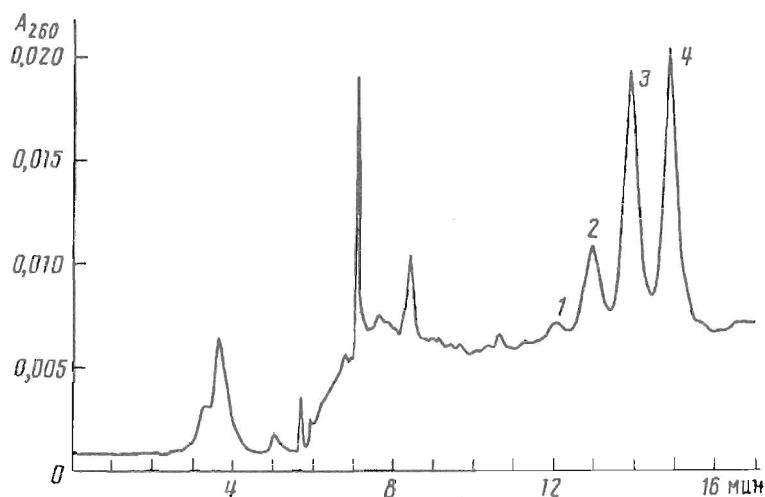


Рис. 2. ВЭЖХ-анализ (ион-парный вариант) реакционной смеси, полученной при взаимодействии олигонуклеотида (III) с FITC (условия см. «Экспер. часть»). Пики 1—4 — моно-, ди-, три- и тетрафлуоресцинизоцианатные производные

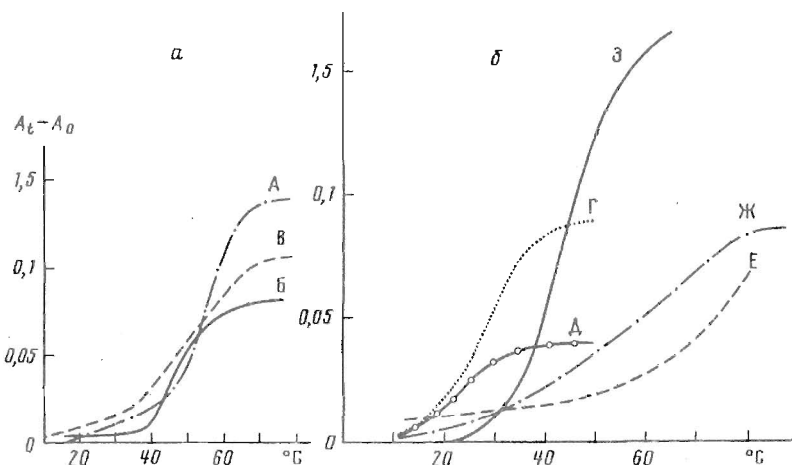


Рис. 3. Кривые температурной зависимости УФ-поглощения ( $\lambda$  260 нм) олигонуклеотидных дуплексов А, Б, В (а); Г, Д, Е, Ж, З (б) в SSC-буфере (0,15 М NaCl, 0,015 М цитрат натрия, pH 7,25).  $C_0^{20}$  приведены в таблице

5 мин, 95° С, pH 11,25). По-видимому, аминогруппа 2'-амино-2'-дезоксиуридуина в отличие от 2'-гидроксильной группы не способна образовать циклический фосфамид.

Высокая реакционноспособность 2'-аминогруппы уридуина в составе олигонуклеотидов продемонстрирована реакциями данных олигонуклеотидов с флуоресцинизоцианатом (FITC) и ацетилированием аминогрупп.

В результате реакции с FITC были получены с выходами 90% производные олигонуклеотидов (I) и (II), имеющие характерные спектры поглощения с максимумами: 262,4, 475,6 и 264,4, 478,8 нм соответственно, что отвечает поглощению олигонуклеотидной и флуоресциновой частей. При взаимодействии 20-звенного олигонуклеотида (III), содержащего четыре 2'-амино-2'-дезоксиуридиновых звена, с FITC образуются четыре продукта, которые соответствуют реакции FITC с одной, двумя, тремя и четырьмя аминогруппами олигонуклеотида. Соотношение данных продуктов реакции составляет соответственно 3,7, 12,3, 39,5, 44,5% (рис. 2).

Некоторые характеристики синтетических модифицированных ДНК-дуплексов

ДНК-дуплекс	$C_0^{20} \cdot 10^4$ , М	Шифр	Модификация, %	T. пл., °C (±1)	$h$ , % (±1)
ACCA <sup>n</sup> CGCGC <sup>n</sup> T CCTGGTG GCGCG AGTG	0,33	А	18	58	20
ACCA <sup>n</sup> CGC <sup>n</sup> GC <sup>n</sup> T CCTGGTG GCG CG AGTG	0,29	Б	27	48	12
ACCA <sup>n</sup> C <sup>n</sup> GC <sup>n</sup> GC <sup>n</sup> T CCTGGTG G CG CG AGTG	0,29	В	36	40	15
ACCA <sup>n</sup> CCGCGCT CCTGGTGGCGCGAGTG	0,30	М	—	63 <sup>2*</sup>	14
CTACU <sup>n</sup> CU <sup>n</sup> CGC GGATGA GA GCGT	0,30	Г	20	31	13
CTACU <sup>n</sup> CU <sup>n</sup> CG <sub>2</sub> C GGATGA GA GC GT	0,22	Д	20	24	8
CTACTCTCGC GGATGAGAGCGT	0,30	Н	—	50 <sup>2*</sup>	16
CACTU <sup>n</sup> CU <sup>n</sup> GrA AGTGAA GA C TCAA	0,30	Е	22	—	15
CACU <sup>n</sup> U <sup>n</sup> CU <sup>n</sup> GrA AGTGA A GA C TCAA	0,27	Ж	33	—	12
CACTTCTGAG AGTGAAGACTCAA	0,33	З	—	48	23
TTTTTTTTU <sup>n</sup> TTU <sup>n</sup> TTU <sup>n</sup> TTU <sup>n</sup> ГТ АААААААААА ААА ААА ААА ААА	0,24	И	20	22	24
T <sub>8</sub> (U <sup>n</sup> <sup>3*</sup> T <sub>2</sub> ) <sub>4</sub> /A <sub>22</sub>	0,15	К	20	16	14
T <sub>8</sub> (U <sup>n</sup> <sup>4*</sup> T <sub>2</sub> ) <sub>4</sub> /A <sub>22</sub>	0,05	Л	20	28	11

\*  $C_0^{20}$  — концентрация дуплексов.

2\* Данные взяты из работы [7].

3\* U<sup>n</sup> — ацилированный по 2'-аминогруппе U<sup>n</sup>.

4\* U<sup>n</sup> — FITC-производное по 2'-аминогруппе U<sup>n</sup>.

Ацилирование проводили уксусным ангидрилом в боратном буфере (pH 8,5). В этих условиях модельный олигонуклеотид (I) ацилируется полностью, а олигонуклеотид (III) образует три продукта: олигонуклеотиды с двумя, тремя и четырьмя ацилированными аминогруппами в соотношении 1 : 10 : 20.

Методом УФ-спектроскопии изучена термическая устойчивость дуплексов, образованных модифицированными олигонуклеотидами и комплементарными им олигодезоксирибонуклеотидами (таблица).

Для первой серии дуплексов (А—В), содержащих в модифицированной олигонуклеотидной цепи 2'-амино-2'-дезоксицитидин, характерно снижение гипохромии ( $h$ ) и температуры плавления по мере увеличения числа модифицированных звеньев в сравнении с немодифицированным дуплексом (М) (таблица, рис. 3а). Для второй серии дуплексов (Г—Ж), включающих 2'-аминоуридин, наблюдается зависимость стабильности не только от количества модифицирован-

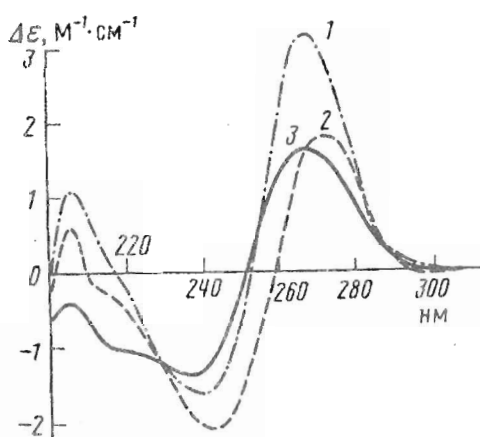


Рис. 4. Спектры КД: 1 — TpU<sup>''</sup>; 2 — U<sup>''</sup>pT; 3 — (U<sup>''</sup> + pT). Температура 20° С (условия см. в подписи к рис. 3)

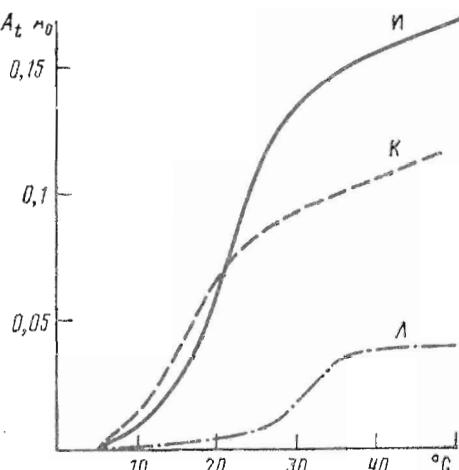


Рис. 5. Кривые температурной зависимости УФ-поглощения ( $\lambda = 260$  нм) олигонуклеотидных дуплексов И, К и Л в SSC-буфере (условия см. подпись к рис. 3).  $c_0^{20}$  приведены в таблице

ных нуклеозидов, но и от первичной структуры олигонуклеотидов. Кривые плавления дуплексов (Г) и (Д) (рис. 3б) отражают кооперативность процесса плавления, хотя величины температур плавления модифицированных дуплексов ниже, чем немодифицированного дуплекса (Н) (см. таблицу).

Общий вид кривых плавления дуплексов (Е) и (Ж) не типичен для двуспиральных олигонуклеотидных комплексов [15]. Низкая гипохромия и отсутствие кооперативности процесса плавления (рис. 3б) скорее всего показывают температурную зависимость УФ-поглощения отдельных олигонуклеотидов. По-видимому, 2'-амино-2'-дезоксиципримидиновые звенья действуют как дестабилизирующий фактор при образовании ДНК-дуплексов. То, что для дуплексов (А) — (Д) это влияние наблюдается в меньшей степени, можно объяснить их богатым G·C-содержанием, которое частично компенсирует этот эффект (для дуплексов (А), (Б), (В) G·C-содержание составляет 72%, для (Г), (Д) — 60%, а для (Е), (Ж) — 44%).

Для характеристики внутримолекулярного стэкинг-взаимодействия в модифицированных олигонуклеотидах изучены КД-спектры динуклеозидфосфатов U<sup>''</sup>pT и TpU<sup>''</sup>. Спектр U<sup>''</sup>pT (рис. 4) близок к суммарному спектру составляющих его мономеров, что свидетельствует о почти полном отсутствии межплоскостных взаимодействий гетероциклических оснований. Напротив, спектр TpU<sup>''</sup> (рис. 4) имеет характерный экситонный тип, отличный от спектра невзаимодействующих компонентов, что свидетельствует о наличии стэкинг-взаимодействий. Эти результаты подтверждают дестабилизирующую роль 2'-аминонуклеозидов, включенных внутрь олигонуклеотидной цепи. Дестабилизирующее влияние 2'-аминогрупп в составе олигонуклеотидной цепи может быть обусловлено их способностью протонироваться и образовывать внутреннюю соль с соседней межнуклеотидной фосфатной группой.

Для проверки данной гипотезы мы изучили термическую устойчивость дуплексов при повышенном значении pH и с блокированными 2'-аминогруппами.  $pK_a$  аминогруппы 2'-амино-2'-дезоксиуридина и 2'-амино-2'-дезоксицитидина, определенные методом титрования, равны 7,4, т. е. в SSC-буфере (pH 7,3) 2'-аминогруппа модифицированного звена в составе дуплексов (А) — (Ж) на 50% была в протонированной форме. При исследовании термической устойчивости дуплексов (Е) и (Ж) при pH 8,5 принципиальных изменений в поведении кривых плавления не наблюдалось. Далее pH буферного раствора не повышали, так как

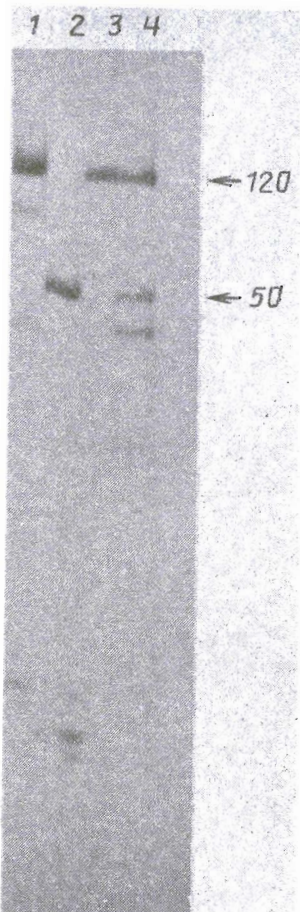


Рис. 6. Авторадиограмма разделения в 20% ПААГ продуктов гидролиза 3'-<sup>32</sup>P-меченой 5S рРНК после инкубации с РНКазой Н (30 мин, 25° С) в присутствии CACTTCTGAG (2), (VI) (3), (V) (4). Дорожка 1 — исходная РНК. Цифры у стрелок обозначают длину олигонуклеотидных фрагментов (число нуклеотидных звеньев)

это снизило бы устойчивость дуплекса из-за сдвига равновесия между таутомерными формами гетероциклических оснований.

Кривые плавления дуплексов, содержащие блокированные 2'-аминогруппы (дуплексы (К) и (Л)), показаны на рис. 5. Как видно из рис. 5, плавление всех дуплексов кооперативно, однако в ацетилированном дуплексе (К) наблюдается снижение гипохромии и температуры плавления (рис. 5) по сравнению с не-ацетилированным (И). Таким образом, ацетильная группа не способствует стабилизации модифицированной двойной спирали. Дуплекс (Л), содержащий флуоресцеинилированный олигонуклеотид, термодинамически более устойчив (см. таблицу и рис. 5).

Изучена эффективность гидролиза 5S РНК рибонуклеазой Н в присутствии олигонуклеотидов (V)—(VIII). Показано, что расщепление отсутствует в дуплексе с олигонуклеотидом (VI). В присутствии олигонуклеотида (V) эффективность гидролиза не превышает 40% по сравнению с 80%-ным гидролизом РНК в присутствии CACTTCTGA (рис. 6). По-видимому, снижение степени гидролиза связано с дестабилизирующим влиянием 2'-аминогруппы на образование гибридного дуплекса.

Таким образом, в настоящей работе предложен метод введения 2'-амино-2'-дезоксирибонуклеозидов в олигодезоксирибонуклеотидную цепь в процессе ав-

томатического амидофосфитного синтеза. Показана высокая реакционная способность 2'-аминогрупп олигонуклеотидов в реакциях ацилирования. Производное с флуоресцеинизотиоцианатной группой может быть использовано для нерадиоактивного мечения олигонуклеотидных зондов. Результаты физико-химического изучения олигонуклеотидных дуплексов, в состав которых входят модифицированные олигонуклеотиды (V)–(XII), показывают, что введение 2'-амино-2'-дезоксирибонуклеозидов в олигонуклеотидную цепь снижает устойчивость дуплексов. Успешное применение таких модифицированных олигонуклеотидов в качестве гибридизационных зондов возможно лишь при условии их богатого G·C-состава или введения модификаций по 3'- или 5'-концам олигонуклеотида.

### Экспериментальная часть

В работе использовали 5'-О-диметокситритил-3'-(N, N-дизопропиламино)- $\beta$ -цианэтилфосфиты 2'-дезоксирибонуклеозидов (Applied Biosystems, США); уридин (Reanal, Венгрия); цитидин (Fluka, Швейцария); тетразол, N, N-дизопропиламин, дифенилкарбонат, trimetilхлорсилан (Merck, ФРГ); триэтиламин (Fluka, Швейцария); флуоресцеинизотиоцианат, фосфодиэстеразу змеиного яда и щелочную фосфатазу (Sigma, США); диметокситритилхлорид, уксусный ангидрид отечественного производства. бис(N, N-Дизопропиламино)метилфосфит, этиловый эфир трифтормукусной кислоты и азид лития были получены по методикам [12, 16, 17] соответственно.

Хроматографию в тонком слое осуществляли на пластинках Kieselgel 60 F<sub>234</sub> (Merck, ФРГ) в системах: (K-5) — хлороформ — этанол (95 : 5), (K-10) — хлороформ — этанол (9 : 1). Колоночную хроматографию проводили на силикагеле марки Silicagel L40/100 (Chemapol, Чехо-Словакия).

Олигонуклеотидный синтез выполняли на автоматических ген-синтезаторах «Виктория-4М» производства СКТБ специальной электроники и аналитического приборостроения СО РАН, а также Applied Biosystems 380B (США). В качестве полимерного носителя использовали Small Scale dN CPG (Applied Biosystems, США) с загрузкой первым нуклеозидным звеном 20–24 мкмоль/г.

<sup>1</sup>Н-ЯМР-Спектры записывали на приборе VXR-400 (Varian, США). УФ-спектры и кривые температурной зависимости УФ-поглощения регистрировали на спектрофотометре 150-20 (Hitachi, Япония) в терmostатированной кварцевой кювете с длиной оптического пути 1 см; концентрацию олигонуклеотидов измеряли спектрофотометрически; за коэффициент молярного поглощения олигонуклеотидов принимали сумму коэффициентов составляющих мононуклеотидов. Использовали эквимолярные смеси компонентов. ИК-спектры записывали на спектрофотометре UR-20 (Germany). КД-спектры регистрировали на приборе Jasco J 500C (Япония) при комнатной температуре.

5'-O-Диметокситритил-2'-трифторацетамило-2'-дезокси-3'-(N, N-дизопропиламино)метилфосфит уридуна получали из уридуна как описано нами в работе [9].

5'-O-Диметокситритил-N<sup>4</sup>-бензоилцитидин (1) синтезировали по стандартным методикам [18].

5'-O-Диметокситритил-N<sup>4</sup>-бензоил-2'-азидо-2'-дезоксицитидин (3). К раствору 5,2 г (8 ммоль) соединения (1) в 120 мл смеси растворителей диметилформамид — диоксан (1 : 1) добавляли каталитическое количество NaHCO<sub>3</sub> и 2,1 г (19 ммоль) дифенилкарбоната, кипятили 1,5—2 ч. Образование продукта циклизации (2) регистрировали ТСХ (*R*, соединения (2) в системе (K-10) 0,36). К реакционной смеси добавляли 2,75 г (56 ммоль) азida лития и кипятили 2 ч; полноту прохождения реакции контролировали ТСХ. Реакционную смесь упаривали до масла, растворяли в 250 мл хлороформа, промывали водой (3×150 мл). Объединенные органические вытяжки высушивали Na<sub>2</sub>SO<sub>4</sub>, концентрировали

и осаждали в 1 л пентана, полученный осадок отфильтровывали, растворяли в 30 мл хлороформа и хроматографировали на колонке с силикагелем в градиенте концентрации (0—3%) этанола в хлороформе.

Получили два вещества. Соединение (3) — выход 23%,  $R_f$  0,66 (К-10); УФ-спектр (EtOH, нм):  $\lambda_{\max}$  308,4; 241,2; плечо 260;  $\lambda_{\min}$  292,4; ИК-спектр (КBr,  $\nu$ , см<sup>-1</sup>): 2120 ( $N_3$ ), 1666, 1616 (C=O); <sup>1</sup>H-ЯМР-спектр ( $CDCl_3$ ,  $\delta$ , м.д.): 5,36 (д, 1H, H-1',  $J_{1',2'}$  0,8 Гц), 4,33 (широк.д, 1H, H-2',  $J_{2',3'}$  6,6 Гц), 4,50 (м, 1H, H-3'), 4,06 (дт, 1H, H-4',  $J_{3',4'}$  8,74 Гц), 3,54 (дд, 1H, H-5'a,  $J_{5'a,5'6}$  11,4 Гц,  $J_{4',5'a}$  2,6 Гц), 3,64 (дд, 1H, H-5'b,  $J_{4',5'6}$  2,5 Гц), 2,56 (широк.с, 3'-ОН).

Соединение (3а) — выход 20%,  $R_f$  0,88 (К-10); УФ-спектр (EtOH, нм):  $\lambda_{\max}$  308,0; 240,4; плечо 260;  $\lambda_{\min}$  295,2; ИК-спектр (КBr,  $\nu$ , см<sup>-1</sup>): 2120 ( $N_3$ ), 1667, 1616, 1724 (C=O); <sup>1</sup>H-ЯМР-спектр ( $CDCl_3$ ,  $\delta$ , м.д.): 6,11 (д, 1H, H-1',  $J_{1',2'}$  2,04 Гц), 4,62 (дд, 1H, H-2',  $J_{2',3'}$  5,25 Гц), 5,51 (дд, 1H, H-3',  $J_{3',4'}$  8,1 Гц), 4,45 (м, 1H, H-4'), 3,23 (дд, 1H, H-5'a,  $J_{5'a,5'6}$  11,6 Гц,  $J_{4',5'a}$  2,5 Гц), 3,8 (дд, 1H, H-5'b,  $J_{4',5'6}$  2,5 Гц).

*5'-O-Диметокситритил-N<sup>4</sup>-бензоил-2'-трифторацетамидо-2'-дезоксицитидин* (5). 1,24 г (1,84 ммоль) соединения (3) сушили переупариванием в вакууме с абс. пиридином (3×10 мл), растворяли в 18,5 мл абс. пиридина и добавляли 0,78 г (3 ммоль) трифенилfosфина. Реакционную смесь перемешивали 1,5 ч на магнитной мешалке при 20° С. Полноту прохождения реакции контролировали ТСХ. К реакционной смеси добавляли 3,7 мл конц. водного амиака и перемешивали еще 1 ч, затем упаривали до масла, растворяли в 100 мл хлороформа, промывали водой (3×50 мл). Объединенные органические вытяжки высушивали  $Na_2SO_4$  и концентрировали.  $R_f$  соединения (4) в системе (К-10) 0,26. Соединение (4) без хроматографической очистки высушивали переупариванием в вакууме с абс. пиридином (3×3 мл), растворяли в 9 мл смеси хлористого метилена и абс. пиридина (1 : 1), добавляли 0,4 мл (3,68 ммоль) этилового эфира трифторуксусной кислоты. Реакционную смесь выдерживали 24 ч при 20° С (ТСХ-контроль), затем упаривали до масла, растворяли в 100 мл хлороформа, промывали водой (3×50 мл). Органические вытяжки высушивали  $Na_2SO_4$ , концентрировали и хроматографировали на колонке с силикагелем в градиенте концентрации (0—5%) этанола в хлороформе; выход соединения (5) 68%,  $R_f$  0,5 (К-5); <sup>1</sup>H-ЯМР-спектр ( $CDCl_3$ ,  $\delta$ , м.д.): 8,45 (д, H-1, NH-2',  $J_{2'-NH}$  5,6 Гц).

*5'-O-Диметокситритил-N<sup>4</sup>-бензоил-2'-трифторацетамидо-2'-дезокси-3'-(N,N-дизопропиламино)метилфосфит цитидина* (6) получали аналогично [12].

Защитные группы после синтеза олигонуклеотидов удаляли как описано нами ранее [7].

Анализ реакционных смесей и выделение олигонуклеотидов осуществляли с использованием хроматографических колонок размером 4×250 мм; носитель — Диасорб C16T (7 мкм, «ЭЛСИКО», Россия). Обращенно-фазовую хроматографию олигонуклеотидов, содержащих диметокситритильную группу, осуществляли на хроматографе Altex (США) в градиенте концентрации (0—40%) ацетонитрила за 60 мин в 0,1 М ацтате аммония, pH 6,5 (скорость элюции 1 мл/мин, 45° С).

После удаления диметокситритильной группы олигонуклеотиды анализировали повторно обращенно-фазовой и ион-парной ВЭЖХ. Обращенно-фазовую ВЭЖХ проводили на хроматографе Tracor (Голландия) в градиенте концентрации (0—40%) ацетонитрила за 80 мин в 0,1 М ацтате аммония, pH 6,5 (скорость элюции 1 мл/мин, 45° С). Ион-парную хроматографию осуществляли на приборе Waters (США) в градиенте концентрации (5—40%) ацетонитрила в 48 мМ калий-фосфатном буфере (pH 7) в присутствии 2 мМ дигидрофосфата тетрабутиламмония (скорость элюции 1 мл/мин, 45° С).

Чтобы определить нуклеозидный состав, 0,2 ОЕ<sub>260</sub> олигонуклеотида растворяли

в 8 мкл 0,2 М трис-HCl-буфере, содержащего 0,04 М MgCl<sub>2</sub> (рН 8,5), добавляли 1 мкл щелочной фосфатазы ( $0,26 \cdot 10^{-3}$  ед. акт./мкл) и 1 мкл фосфодиэстеразы змеиного яда ( $0,48 \cdot 10^{-2}$  ед. акт./мкл). Реакционную смесь инкубировали 3 ч при 37° С. Продукт гидролиза анализировали обращенно-фазовой ВЭЖХ на хроматографе Altex (США) в градиенте концентрации (0—12%) ацетонитрила за 40 мин в 0,1 М ацтате аммония, рН 6,5 (скорость элюции 1 мл/мин, 45° С).

FITC-производные олигонуклеотидов (I) и (III) получали по методике [19] с последующим их осаждением ацетоном из 2 М раствора перхлората лития. Продукты реакции выделяли методом гель-фильтрации на полимерном носителе Toyopearl HW-40-Gel (Япония). Выделенные FITC-производные олигонуклеотидов (I) и (III) анализировали обращенно-фазовой и ион-парной ВЭЖХ.

*Ацилирование олигонуклеотидов (I) и (II).* К раствору 1,0 ОЕ<sub>260</sub> олигонуклеотида в 200 мкл боратного буфера (рН 8,58) добавляли 50 мкл уксусного ангидрида и выдерживали 1 ч при 20° С, периодически встряхивая. Продукты реакции выделяли и обессоливали методом гель-фильтрации на полимерном носителе Toyopearl HW-40-Gel (Япония). Реакционные смеси анализировали обращенно-фазовой и ион-парной ВЭЖХ (условия см. выше).

Для гибридизированного расщепления РНК 0,001—0,002 ОЕ<sub>260</sub> 5'-<sup>32</sup>P-5S pРНК (50 000 имп/мин) и 0,01—0,05 ОЕ<sub>260</sub> олигодезоксирибонуклеотида растворяли в 5 мкл 0,01 М буфера трис-HCl, рН 7,9, содержащего 0,15 М NaCl, 10 mM MgCl<sub>2</sub>, 0,5 mM дитиотрейт, 0,1 mM EDTA, добавляли 1 мкл РНКазы Н, перемешивали, выдерживали 30 мин при 20° С. Продукты гидролиза разделяли в 15 или 20% ПААГ, зоны вырезали, количество радиоактивной метки определяли просчитыванием проб на счетчике Delta-300 (Varian, США).

Авторы выражают благодарность Н. П. Потаповой (ВНИИ по изысканию новых антибиотиков РАМН) за помощь при интерпретации ЯМР-спектров и В. Н. Сергееву (химический факультет МГУ) за проведение анализа нуклеотидной последовательности модифицированных олигонуклеотидов.

#### СПИСОК ЛИТЕРАТУРЫ

1. Coull J. M., Weith H. L., Bischoff R. // Tetrahedron Lett. 1986. V. 27. № 34. P. 3991—3994.
2. Li P., Medon P. P., Skingle D. C., Lanser J. A., Symons R. H. // Nucl. Acids Res. 1987. V. 15. № 17. P. 5275—5281.
3. Roget A., Bazin H., Teoule R. // Nucl. Acids Res. 1989. V. 17. № 19. P. 7643—7651.
4. Волков Е. М., Кубарева Е. А., Ташлицкий В. Н., Орецкая Т. С. // Химия природ. соедин. 1991. № 5. С. 698—704.
5. Agrawal S., Zamecnik P. C. // Nucl. Acids Res. 1990. V. 18. № 18. P. 5419—5423.
6. Metelev V. G., Krynetskaya N. F., Purmal A. A., Shabarova Z. A., Tocik Z., Arnold L., Smrt J. // Collect. Czech. Chem. Comms. 1990. V. 55. P. 2781—2786.
7. Шжидт С., Кузнецова Л. Г., Романова Е. А., Ниманн А., Орецкая Т. С., Крынецкая Н. Ф., Метелев В. Г., Шабарова З. А. // Биоорганическая химия. 1991. Т. 17. № 6. С. 823—830.
8. Pieken W. A., Olsen D. B., Benseler F., Aurup H., Eckstein F. // Science. 1991. V. 253. P. 314—317.
9. Кузнецова Л. Г., Волков Е. М., Романова Е. А., Ташлицкий В. Н., Орецкая Т. С., Шабарова З. А. // Биоорганическая химия. 1991. Т. 17. № 9. С. 1289—1291.
10. Hampton A., Nichol A. W. // Biochemistry. 1966. V. 5. № 6. P. 2076—2082.
11. Verheyen J. P. H., Wagner P., Moffatt J. G. // J. Org. Chem. 1971. V. 36. № 2. P. 250—254.
12. Barone A. P., Tang J. U., Caruthers M. N. // Nucl. Acids Res. 1984. V. 12. № 10. P. 4051—4061.
13. Krug A., Schmidt S., Lekschas J., Lemke K., Cech D. // J. Pract. Chem. 1989. В. 331. С. 835—842.
14. Maxam A. M., Gilbert W. // Meth. Enzymol. 1980. V. 65. P. 499—560.
15. Шабарова З. А., Вейко В. П., Долинная Н. Г., Друца В. Л., Метелев В. Г., Орецкая Т. С., Пурмаль А. А. // Биоорганическая химия. 1987. Т. 13. № 5. С. 628—642.

16. Гудлицкий М. Химия органических соединений фтора. М.: ГХИ, 1961. С. 134, 174—175.
17. Бауэр Г. Руководство по неорганическому синтезу. М.: Мир, 1985. Т. 2. С. 496—497.
18. Jones R. F.//Oligonucleotide Synthesis: a Practical Approach/Ed. Gait M. J. Oxford: Washington P. C. J. R. L. Press, 1984.
19. Agrawal S., Christodoulou C., Gait M. J.//Nucl. Acids Res. 1986. V. 14. № 15. P. 6227—6245.

Поступила в редакцию  
15.VI.1992

L. G. Kuznetsova, E. A. Romanova, E. M. Volkov, V. N. Tashlitsky,  
T. S. Oretskaya, N. F. Krynetskaya, Z. A. Shabarova

### OLIGODEOXYRIBONUCLEOTIDES CONTAINING 2'-AMINO-2'-DEOXPYRIMIDINE NUCLEOSIDES

*Chemical Department, M. V. Lomonosov Moscow State University, Moscow*

The synthesis, by means of the standard phosphoramidite chemistry, of modified oligodeoxynucleotides (5—20 residues) containing 2'-amino-2'-deoxypyrimidine nucleosides has been carried out, and their ability to form duplexes with complementary DNA has been investigated. A high reactivity of such compounds in N-acylation was shown.